

τ 轻子质量的精密测量*

BES 合作组

丁慧良	于传松	马东红	马恩成	马基茂	马爱民	方 建	王 平
王运永	王佩良	王临州	王泰杰	王 曼	王少敏	王灵淑	毛泽普
毛慧顺	兰慧彬	倪惠苓	叶铭汉	叶诗章	叶树伟 ¹	白景芝	史焕章
朱永生	朱启明	吕 锋	庄保安	过雅南	李卫国	李 芳	李如柏
李 金	李佩琴	李 蔚	李小南	李玉山	李卫东	李 群 ²	刘怀民
刘荣光	刘 琦	刘 延	刘经华	刘振安	孙汉生	孙 粱	吕军光
许榕生	许明康 ³	许亚娣 ³	严武光	张长春	张少强	张达华	张 羽
张良生	张会领	张炳云	张家文	张 建	张月元	杨长友	杨春敏
杨 蔚	沈定力	沈肖雁	沈 红	何 灼	何 瑞 ²	何可人	陈雅青
陈少敏	陈申见	陈 宇	陈宏芳 ¹	陈光培	陈元柏	杜志珍	吴义根
宋晓非	孟祥承	邵毓莺	郁忠强	周月华	周化十	周光谱	周 莉
周小帆	郑志鹏	郑林生	郑建平	林树子	罗 勇	郎鹏飞	范晓玲
金 艳	苑长征	赵京伟	赵平德	赵 萌	赵维仁	赵棣新	胡贵云
胡 涛	胡洪波	胡晓庆	荣 刚	姜春华	姜志进 ²	祝玉灿	祝红国
康书辉	席德明	谈益平	顾以藩	顾树棣	顾维新	顾建辉	高文绣
高树琦	高美丽	高翠山	徐芷青	徐德之	夏小米	唐素秋	虞炎华 ³
黄因智	黄德强	崔化传	崔象宗	盛华义	韩 缨	韩世温	谢小希
谢佩佩	程宝森	赖元芬	童国良	曾吉阳	阙友昆	喻纯旭	漆纳丁
颜 浩	薛生田	熊伟军	魏诚林	聂 晶 ¹			

(中国科学院高能物理研究所 北京 100039)

1 (中国科技大学近代物理系 合肥 230026)

2 (山东大学物理系 济南 250100)

3 (杭州大学物理系 杭州 310028)

* 国家自然科学基金资助。

T. J. Shank S. Whittaker,
(*Boston University, Boston, Massachusetts 02215*)

M. Hatanaka D. Hitlin L. Jones M. Kelsey J. Oyang
X. R. Shi J. Panetta F. Porter E. Prabhakar
(*California Institute of Technology, Pasadena, California 91125*)

A. Lankford M. Mandelkern J. Shultz B. Schmid M. Schernau
A. Smith D. Stoker G. Zioulas
(*University of California, Irvine, California 92717*)

J. Chen Q. P. Jia R. Malchow R. Wilson
W. Toki
(*Colorado State University, Fort Collins, Colorado 80523*)

O. Bardon R. Cowan M. Fero J. Quigley E. Torrence
R. Yamamoto
(*Massachusetts Institute of Technology, Cambridge, Massachusetts 02139*)

W. Dunwoodie H. Marsiske E. Soderstrom
J. Synodinos
(*Stanford Linear Accelerator Center Stanford University, Stanford, California 94309*)

W. Wisniewski
(*Superconducting Supercollider Laboratory, Dallas, Texas 75237-3946*)

J. Standiford I. Blum P. Gratton B. Kim X. C. Lou
H. Shipman J. Campbell J. M. Izen B. Lowery
(*University of Texas at Dallas, Richardson, Texas 75083-0688*)

T. Burnett
(*University of Washington, Seattle, Washington 98195*)

A. Breakstone F. Harris S. Olsen D. Paluselli
A. Breakstone F. Harris S. Olsen D. Paluselli L. J. Pan
(*University of Hawaii, Honolulu, Hawaii 96822*)

1994-09-07 收稿

摘要

由北京正负电子对撞机(BEPC)上取得的 τ 轻子质量附近12个能量点的数据,筛选出 τ 轻子到其6个主要衰变道的事例数,用最大似然法双参数拟合得到 τ 轻子的质量为 $1776.88^{+0.22+0.20}_{-0.23-0.17}$ MeV。与1992年的 τ 轻子到 $e\mu$ 一个衰变道的测量结果相比,增加了统计量,减小了统计误差,从而提高了精确度。

关键词 τ 轻子质量,事例筛选,径迹判定。

1 引言

北京谱仪(BES)合作组于1991年底至1992年初在北京正负电子对撞机(BEPC)上根据近阈扫描的实验方案,在 τ 质量附近的12个能量点上积累了 5000nb^{-1} 的积分亮度共约180万的对撞事例。由 τ 轻子的 $e\mu$ 衰变模式的事例,运用最大似然法拟合得到 τ 轻子的质量 m_τ 为^[1,2]:

$$M_\tau = 1776.9^{+0.4}_{-0.5} \pm 0.2 \text{ MeV}$$

τ 轻子主要衰变道最新实验结果给出的分支比^[3]为:

衰变道	分支比
$\tau \rightarrow e\nu_\tau\bar{\nu}_e$	$(17.88 \pm 0.15)\%$
$\tau \rightarrow \mu\nu_\tau\bar{\nu}_\mu$	$(17.90 \pm 0.16)\%$
$\tau \rightarrow \pi\nu_\tau$	$(11.60 \pm 0.40)\%$

北京谱仪对电子、 μ 子和 π 介子有较好的分辨能力,因此通过收集 τ 轻子的 $e\mu$ 、 $e\pi$ 、 ee 、 $\mu\mu$ 、 $\mu\pi$ 和 $\pi\pi$ 6种衰变模式的事例进行分析拟合得到 τ 轻子质量都是可行的。这样做既扩大了统计量,减小了测量的统计误差,还可以避免收集数据的随机性和统计涨落带来的错误。

本文报道的工作,按照事例判选、粒子鉴别、最大似然法拟合和误差处理等几个步骤,以统一的逻辑分析了 τ 轻子的6个主要衰变模式的事例。由12个能量点取得的 τ 轻子事例,筛选出衰变到以上6道的事例数 $N_{e\mu}, N_{e\pi}, N_{ee}, N_{\mu\mu}, N_{\mu\pi}, N_{\pi\pi}$,最后确定了 τ 轻子的质量。

2 τ 轻子6个主要衰变道的特征

(1) 事例判选的目的是将 $\tau^+\tau^-$ 事例与本底区别开。以上6个模式均为终态仅有两

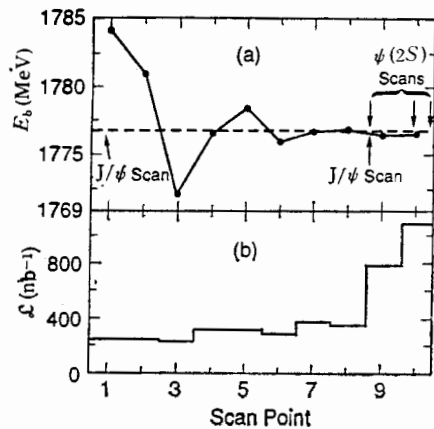


图1 各实验点的束流能量(E_b)和积分亮度(\mathcal{L})

一个荷电粒子并伴有携带能量逃逸而去的中微子。这种事例称为：“有能量或动量丢失的两叉事例”。北京谱仪可以“看”到这些事例的能量、动量的不守恒。这些事例与过程

$$\begin{aligned} e^+e^- &\rightarrow q\bar{q}, \quad e^+e^- \rightarrow e^+e^-(\gamma), \\ e^+e^- &\rightarrow \mu^+\mu^-(\gamma), \quad e^+e^- \rightarrow e^+e^-e^+e^-, \\ e^+e^- &\rightarrow \mu^+\mu^-\mu^+\mu^-, \quad e^+e^- \rightarrow e^+e^-\bar{q}\bar{q}, \end{aligned}$$

(后三个过程即“双光子”过程)产生的本底在非共线角 (*ACOL*)，非共面角 (*ACOP*) 和 横动量与丢失动量之比 (*PTEs*) 的分布图中表现出强烈的不同，为事例和本底的区别提供了条件。

(2) 这 6 个衰变模式终态各伴有不同数目的中微子产生，例如 $e\mu$ 、 ee 、 $\mu\mu$ 模式各伴有四个中微子， $e\pi$ 、 $\mu\pi$ 模式各伴有三个中微子，而 $\pi\pi$ 模式只伴有两个中微子产生。因此在 *ACOL*、*ACOP* 和 *PTEs* 的分析中对不同的模式采用不同的截断条件。其中

$$PTEs = \frac{|(\mathbf{p}_1 + \mathbf{p}_2)_{\text{lost}}|}{W - |\mathbf{p}_1| - |\mathbf{p}_2|},$$

$\mathbf{p}_1, \mathbf{p}_2$ 分别为衰变产生两个粒子的动量， W 为质心系能量。

(3) 以上各衰变模式中没有任何光子或 π^0 等中性粒子产生，因此在判选中做了拒绝中性径迹的定量要求。

(4) 为排除宇宙线本底，使用了“两个从中心点向外飞行的粒子到达飞行时间探测器所用的时间 T_1 和 T_2 应基本相同”的限定，并要求这两个时间之差 ΔT 小于 3ns。

(5) 文献 [1] 将电子动量的下限定为 350MeV/c，是较保守的措施，基于更多的 Monte Carlo 研究，现将电子的动量下限降为 200MeV/c。

(6) $\tau \rightarrow \pi\nu_\tau$ 过程产生的 π 介子具有单色性，在阈值处产生的 π 介子的动量呈 δ 分布。离开阈值处， τ 的动量造成了 π 的加速或减速，其动量范围因此而有所展宽。根据能量、动量守恒的原理，由 τ 轻子、 π 介子和 τ 中微子 ν_τ 的能量 E_τ 、 E_π 、 E_{ν_τ} 和动量 \mathbf{p}_τ 、 \mathbf{p}_π 、 \mathbf{p}_{ν_τ} 推出 π 介子的动量上限 $p_{\pi \text{上}}^*$ 和下限 $p_{\pi \text{下}}^*$ 分别为：

$$p_{\pi \text{上}}^* = \frac{(E_\tau + p_\tau)^2 - M_\pi^2}{2(E_\tau + p_\tau)};$$

$$p_{\pi \text{下}}^* = \frac{(E_\tau - p_\tau)^2 - M_\pi^2}{2(E_\tau - p_\tau)}.$$

由 $p_{\pi \text{上}}^*$ 、 $p_{\pi \text{下}}^*$ 再考虑到 BES 的动量分辨率 σ_p ，得到判别 π 介子的动量截断最大值 p_{\max} 和最小值 p_{\min} 分别为：

$$p_{\max} = p_{\pi \text{上}}^* + 3\sigma_p;$$

$$p_{\min} = p_{\pi \text{下}}^* - 3\sigma_p,$$

其中

$$\sigma_p/p = 2.1\% \sqrt{1 + p^2}.$$

3 τ 轻子事例的筛选条件

- (1) 两条电荷相反的径迹: $N_{\text{chg}} = 2$, $\sum Q_i = 0$, 好的径迹重建质量 $M_{\text{fit}} = 2$.
- (2) 两条径迹的顶点 (x_0, y_0, z_0) 在对撞区域: $|x_0| \leq 1.5\text{cm}$, $|y_0| \leq 1.5\text{cm}$, $|z_0| \leq 15\text{cm}$.
- (3) 不含有任何孤立光子, 孤立光子定义为能量大于 60MeV 并与带电径迹夹角大于 12° 的中性粒子.
- (4) 两条径迹的非共线角满足: $10^\circ < ACOL < 170^\circ$.
- (5) 不同衰变模式的 $PTES$ 和 $ACOP$ 的截断值满足:

衰变模式	ACOP	PTES
$\tau\tau \rightarrow e\mu$	$> 10^\circ$	> 0.1
$\tau\tau \rightarrow e\pi$	$> 20^\circ$	> 0.25
$\tau\tau \rightarrow \mu\pi$	$> 20^\circ$	> 0.25
$\tau\tau \rightarrow \mu\mu$	$> 20^\circ$	> 0.15
$\tau\tau \rightarrow \pi\pi$	$> 20^\circ$	> 0.30
$\tau\tau \rightarrow ee$	$> 50^\circ$	> 0.10

- (6) 在飞行时间计数器内有好的重建径迹.

4 电子径迹的判定条件

- (1) 动量 p_e 满足 $0.2\text{GeV}/c < p_e < p_{\max}$.
- (2) 粒子速度 β 满足 $0.8 \leq \beta \leq 1.5$, 这里电子速度应为光速 $\beta = 1$, 由于时间分辨等因素造成了 β 的展宽.
- (3) 在簇射计数器中沉积的能量 E 与动量 p 之比满足 $E/p \geq 0.4$.
- (4) 若动量值在 $0.2\text{GeV}/c$ 与 $0.35\text{GeV}/c$ 之间时, 要求 $\beta \geq 1.0$, 而且根据主漂移室 (MDC) 中的 dE/dx 信息也判为电子.
- (5) 若动量在 $0.35\text{GeV}/c$ 与 $0.70\text{GeV}/c$ 之间时, 要求在 MDC 中的 dE/dx 信息判为电子, 在簇射计数器中沉积能量 $E \geq 0.4\text{GeV}$ 或击中数大于 9.
- (6) 若动量在 $0.7\text{GeV}/c$ 与 p_{\max} 之间, 要求 $\beta \geq 0.8$, 在 MDC 中的 dE/dx 信息判为电子, 在簇射计数器中能量沉积 $E \geq 0.5\text{GeV}$, 击中数大于 13, 或 $E \geq 0.6\text{GeV}$, 击中数大于 9.

5 μ 子径迹的判定条件

- (1) 粒子在某层 μ 探测器的击中点满足 $|A_x| \leq 4$; $|A_z| \leq 6$, A_x 和 A_z 分别为此点在 $x-y$ 平面和 z 方向由 MDC 中径迹外推的截距与对应的分辨率 σ_x, σ_z 的比值.

(2) 至少有两层 μ 计数器被击中, 若击中的为第二、第三层, 则要求为双管击中。

(3) 或至少有一层 μ 计数器被击中且为双管击中。

(4) 动量 p_μ 在 $p_{\pi \text{上层}}$ 和 $p_{\pi \text{下层}}$ 之间时, 应满足在簇射计数器中沉积能量 $E \leq 0.45 \text{ GeV}$ 。

部分 π 介子穿过量能器仍能击中 μ 探测器, 称之为 Punchthrough π 。对这些 π 的研究发现, 大约 10% 为 Punchthrough π , 其中约有 1% 的 π 还能击中二层或二层以上的 μ 计数器。确定的上述判断条件能够区别 Punchthrough π 和 τ 轻子衰变的 μ 。

6 π 介子径迹的判定条件

(1) 动量在 p_{\min} 与 p_{\max} 之间。

(2) 极角 θ 满足 $|\cos \theta| \leq 0.75$ 。

(3) 速度 β 满足 $0.85 \leq \beta \leq 1.5$ 。

(4) 簇射计数器中的击中数小于 11。

(5) 由主漂移室的 dE/dx 信息判为 π 。

(6) 在簇射计数器中的能量沉积 $E \leq 0.4 \text{ GeV}$ 。

(7) 不满足 μ 子径迹的判定条件。

7 测量结果

采用以上判选条件筛选了 τ 质量测量的 12 个能量点的数据, 得到了 τ 轻子 6 种主要

表 1 各测量点的能量值、积分亮度值和各衰变道的事例数

测量点	能量 (MeV)	积分亮度 (nb ⁻¹)	N_{ee}	$N_{e\mu}$	$N_{e\pi}$	$N_{\mu\mu}$	$N_{\mu\pi}$	$N_{\pi\pi}$
1	1784.19	245.8	0	2	3	0	1	1
2	1780.99	248.9	1	1	0	1	1	0
3	1772.09	232.8	0	0	0	0	0	0
4	1776.57	323.0	0	0	0	0	0	0
5	1778.49	322.5	0	2	2	0	1	0
6	1775.95	296.9	0	0	0	0	0	0
7	1776.75	384.0	0	0	0	0	0	0
8	1776.98	360.8	0	1	1	1	0	0
9	1776.45	794.1	0	0	0	0	0	0
10	1776.62	1109.1	1	1	1	0	1	1
11	1799.51	499.7	2	6	4	2	1	3
12	1789.55	250.0	2	1	1	0	2	1

注: $N_{e\mu}$, $N_{e\pi}$, $N_{\mu\mu}$, $N_{\mu\pi}$, $N_{\pi\pi}$, N_{ee} 分别为 $\tau\tau \rightarrow e\mu$, $\tau\tau \rightarrow e\pi$, $\tau\tau \rightarrow \mu\mu$, $\tau\tau \rightarrow \mu\pi$, $\tau\tau \rightarrow \pi\pi$, $\tau\tau \rightarrow ee$ 各衰变道筛选到的事例数。

衰变模式共 49 个事例。表 1 中列出这 6 种衰变模式的事例数和各能量点的束流能量与积分亮度值。

表 2 给出各衰变模式筛选到的事例总数及本底事例数, 双参数拟合得到的探测效率及 τ 轻子质量。

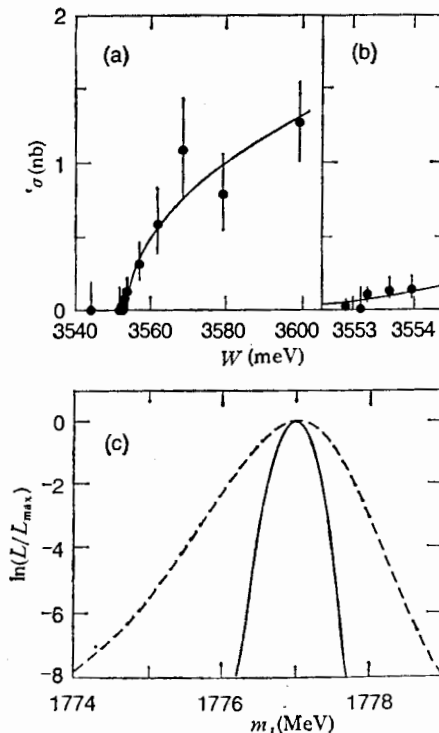


图 2

(a) 阔附近的 τ 产生截面; (b) 图(a)曲线的局部放大; (c) τ 质量最大似然法双参数拟合曲线。
虚线: 只用 $e\mu$ 衰变道的事例拟合, 实线: 用 6 个衰变道的事例拟合。

表 2 由 6 种衰变模式筛选的 τ 轻子事例数及双参数拟合结果

衰变道	ee	$e\mu$	$e\pi$	$\mu\mu$	$\mu\pi$	$\pi\pi$
筛选事例数	6	14	12	4	7	6
本底事例数	0.02	0.10	0.16	0.16	0.20	0.18
双参数拟合效率 (%)	$15.6^{+7.2}_{-5.5}$	$14.2^{+4.7}_{-3.9}$	$18.9^{+6.9}_{-5.5}$	$7.5^{+5.2}_{-3.5}$	$10.9^{+5.4}_{-4.0}$	$30.8^{+16.5}_{-12.6}$
双参数拟合 τ 质量 (MeV)	$1776.88^{+0.22}_{-0.23}$					

由表 1、表 2 的值进行双参数的最大似然法拟合, 得到 τ 轻子质量及其统计误差为

$$m_\tau = 1776.88^{+0.22}_{-0.23} \text{ MeV}$$

系统误差的分析方法与文献[1]相同,本文在此仅列出结果。表3给出系统误差来源及数值。

表3 系统误差来源和相应的数值

误差产生源	误差值(MeV)
1.探测器接收效率及亮度计算的不确定性	+0.10 -0.11
2.BEPC 能量的不稳定性	±0.09
3.束流能散度的不确定性(0.8MeV)引起的误差	±0.02
4.各衰变道本底计数之和(约为1)引起的误差	±0.10
5. Monte Carlo 模拟测量方案本身带来的系统偏差	0.10—0.22
误差总和	+0.20 -0.17

8. τ 轻子质量精密测量结果及讨论

由 τ 轻子的6个主要衰变模式的测量得出:

$$m_\tau = 1776.88 \begin{array}{l} +0.22 \\ -0.23 \end{array} \begin{array}{l} +0.20 \\ -0.17 \end{array} \text{ MeV}$$

采用6个衰变模式的事例进行拟合,使参与分析的事例总数增加到文献[1]的3.5倍,统计误差降低到系统误差同一水平,总误差仅为 $\begin{array}{l} +0.30 \\ -0.31 \end{array}$ MeV。这个结果比粒子物理手册1992年版本的数据 $\begin{array}{l} (+2.7 \\ -3.6) \text{ MeV} \end{array}$ 改进了一个数量级。

用本文得到的 τ 轻子质量值及最新的 τ 轻子衰变分支比 $B_\tau = (17.89 \pm 0.11)\%$, 和 τ 轻子寿命实验值^[4] $\tau_\tau = (293 \pm 9 \pm 12) \times 10^{-15}\text{s}$, 得出弱耦合常数比为:

$$\left[\frac{G_\tau}{G_\mu} \right]^2 = 0.991 \pm 0.012;$$

$$\left[\frac{G_\tau}{G_\mu} \right] = 0.995 \pm 0.006.$$

$\mu-\tau$ 轻子普适性在一个标准偏差内是成立的。

北京谱仪合作组感谢对撞机岗位上和支持实验的各研究室、工厂车间的同志们,特别是计算机中心的全体工作人员。理论室的黄涛、吴济民等教授参与了许多物理理论问题的讨论计算和参数的确定,在此向他们表示诚挚的谢意。

参 考 文 献

- [1] BES 合作组,高能物理与核物理,16(1992)865.
- [2] Measurement of the Mass of τ lepton, BES collab., Phys. Rev. Lett., 69 (1992) 3021.
- [3] Review of particle properties, PDG. Phys. Rev., D45(1993).
- [4] Experimental Results on τ physics, J.J. Gomez Cadenas, CERN-PPE/94-B, 1994.

Precise Measurement of τ Mass

BES Collaboration

Received 7 September 1994

Abstract

Pairs of τ lepton produced near the threshold have been studied in $e\mu$, $ee, e\pi$, $\mu\mu, \mu\pi, \pi\pi$ final states with the data taken by BES detector at BEPC collider in 1992. The obtained τ mass is $1776.88^{+0.22+0.20}_{-0.23-0.17}$ MeV by fitting data with likelihood method.

Key words τ mass measurement, event selection, tracking identify.